

I-MCP: EMISSIONE SECONDARIA IN MICRO-CHANNEL PLATES PER LA MISURA PRECISA DEL TEMPO DI VOLO

Simone Gelli



SAPIENZA
UNIVERSITÀ DI ROMA

Università “La Sapienza” di Roma e INFN

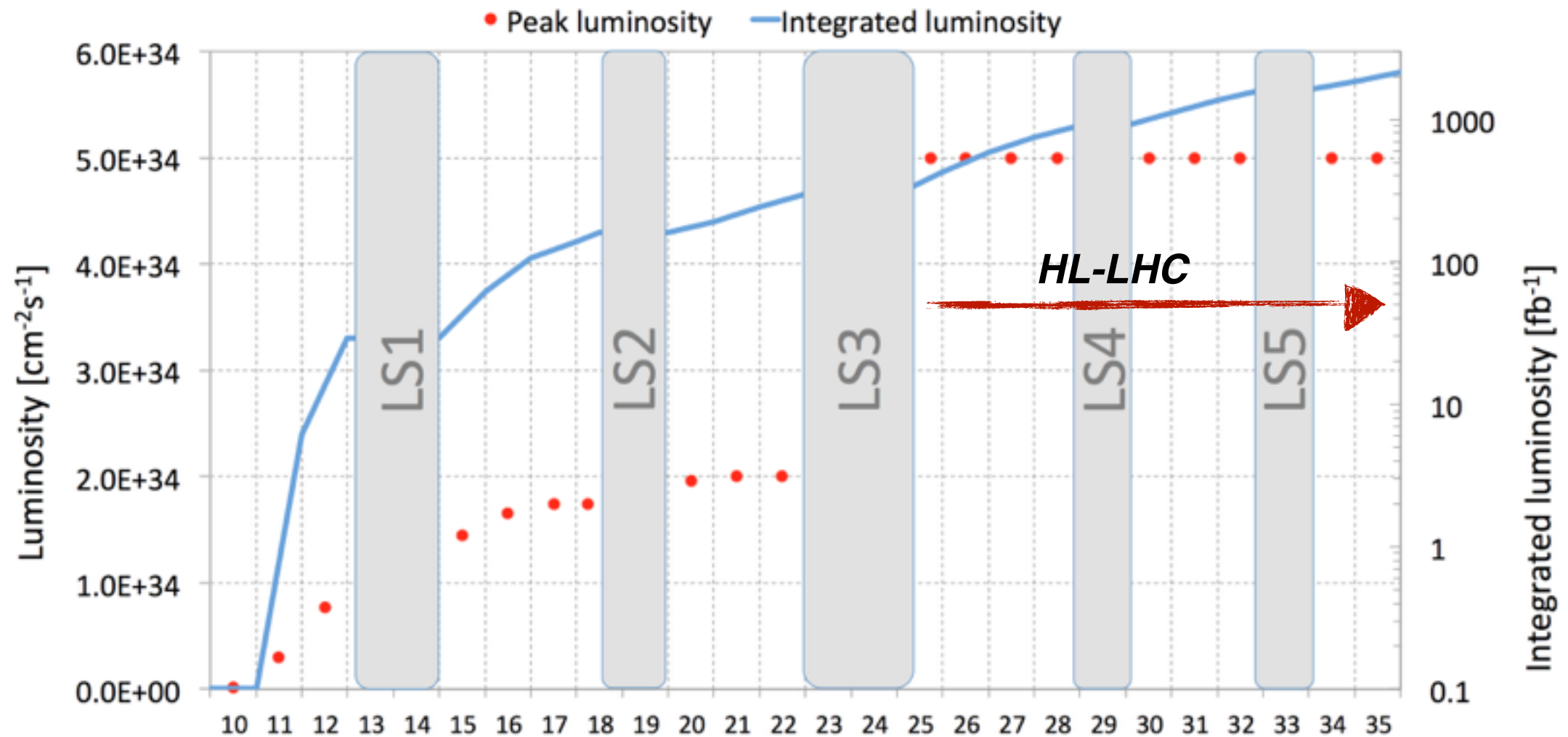


Large Hadron Collider



Caratteristiche	
Particelle	protoni/ioni di Pb
Lunghezza	27 km
Energia nel C.M.	13 TeV
ν scontro tra i fasci	40 MHz

High Luminosity LHC



	LHC	HL-LHC
Luminosità istantanea [$\text{cm}^{-2}\text{s}^{-1}$]	$\approx 10^{34}$	$\approx 5 \cdot 10^{34}$
Luminosità annuale [fb^{-1}]	50	250
Pile up	≈ 25	120-140

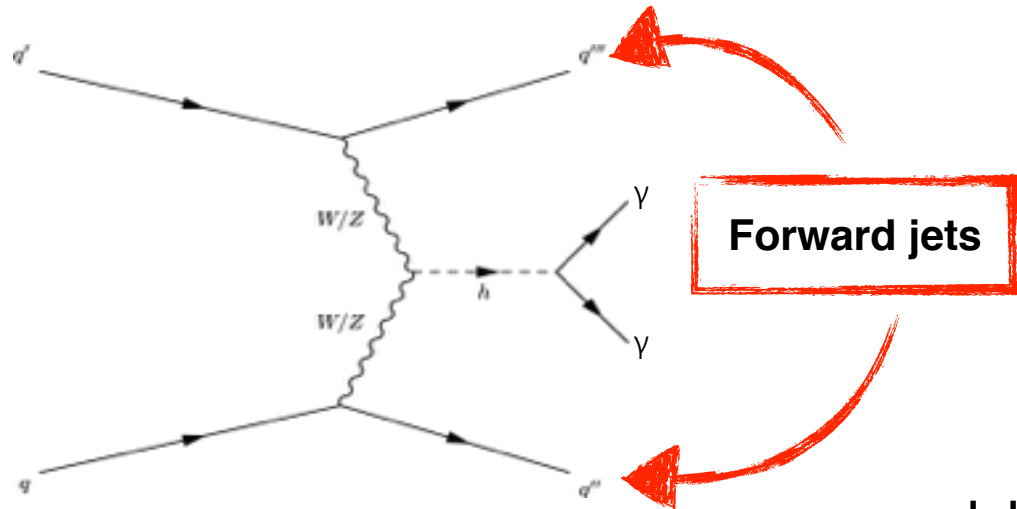
$$\frac{dN_{\text{eventi}}}{dt} = L \cdot \sigma$$

Luminosità \downarrow
Sezione d'urto \uparrow

➔ Miglioramenti nelle misure attuali, studio di processi rari (VBF, ...) 3

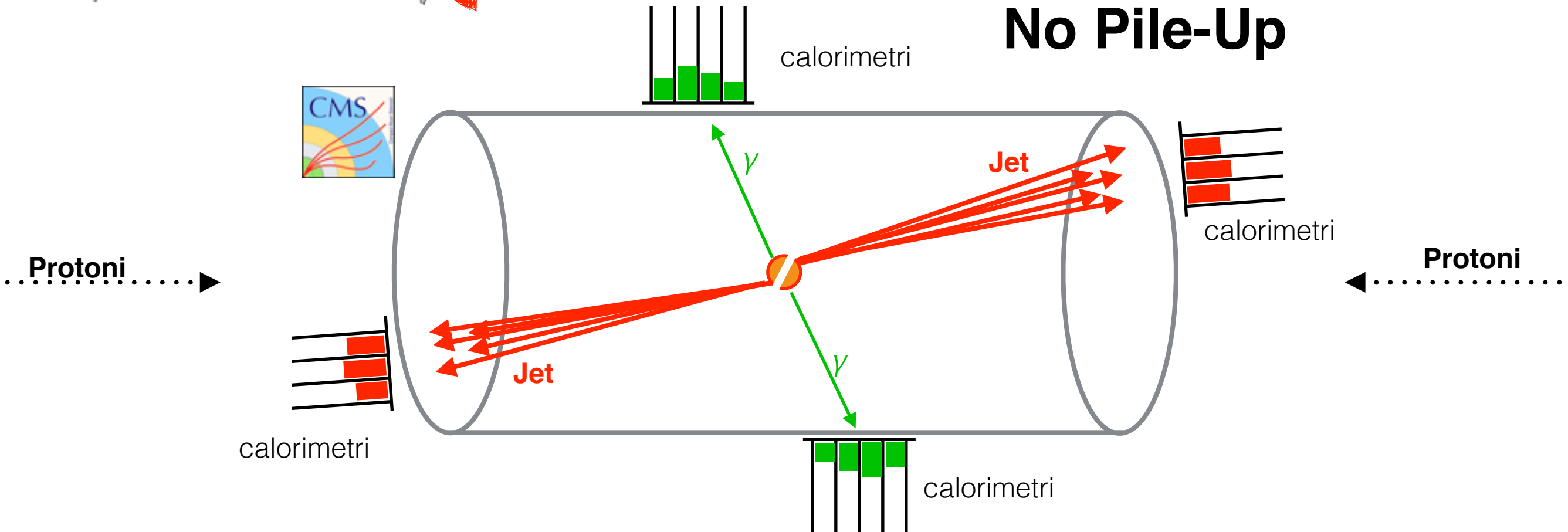
Pile Up

Sovrapposizione di più collisioni all'interno della stessa finestra di bunch crossing contemporanee ad un *evento di scattering "duro"*



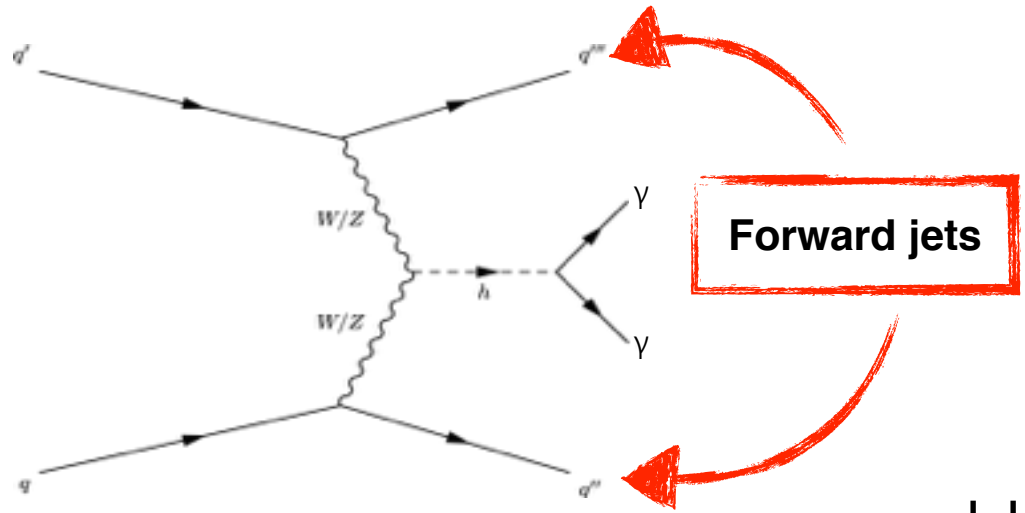
Evento di scattering "duro"
Produzione di un bosone di Higgs tramite VBF

No Pile-Up

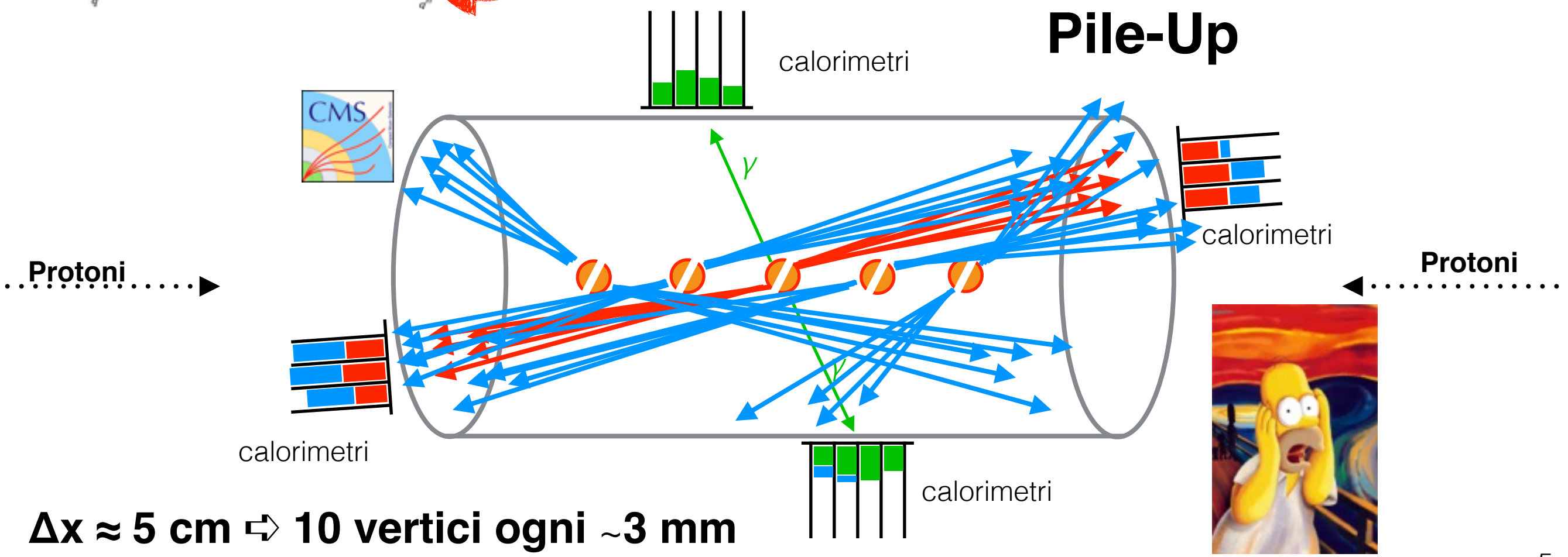


Pile Up

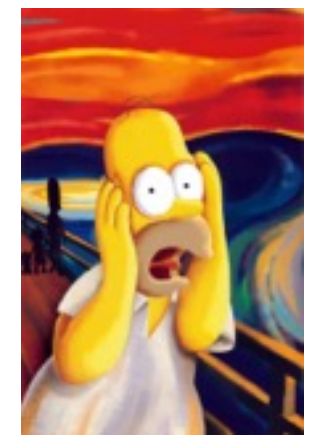
Sovrapposizione di più collisioni all'interno della stessa finestra di bunch crossing contemporanee ad un evento di scattering "duro"



Evento di scattering "duro"
Produzione di un bosone di Higgs tramite VBF

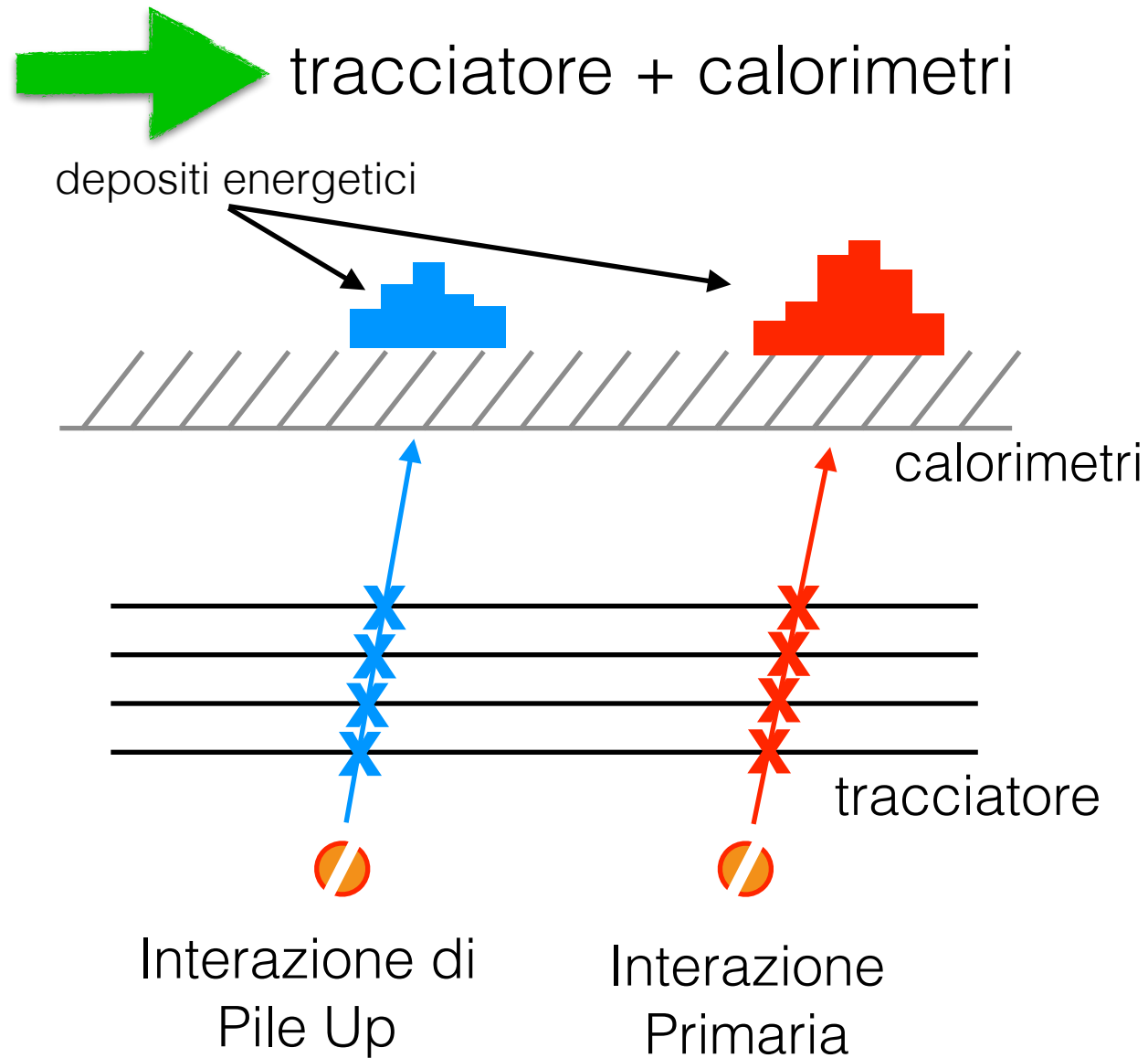


$\Delta x \approx 5 \text{ cm} \Rightarrow 10 \text{ vertici ogni } \sim 3 \text{ mm}$

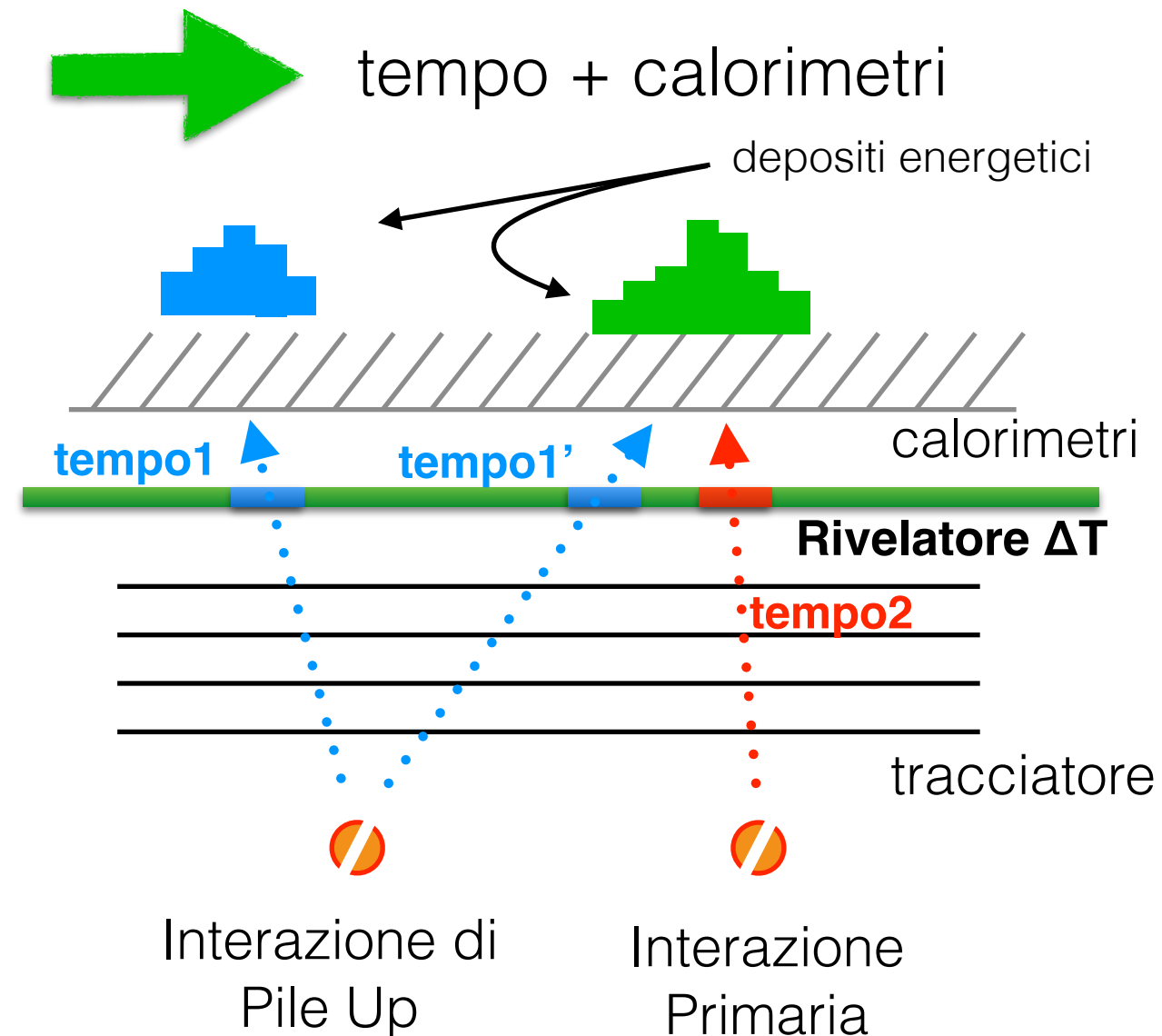


Rimozione del Pile Up

Particelle cariche



Particelle neutre



tempo2 \neq tempo1'

Rivelatore con $\Delta T = O(10 \text{ ps})$

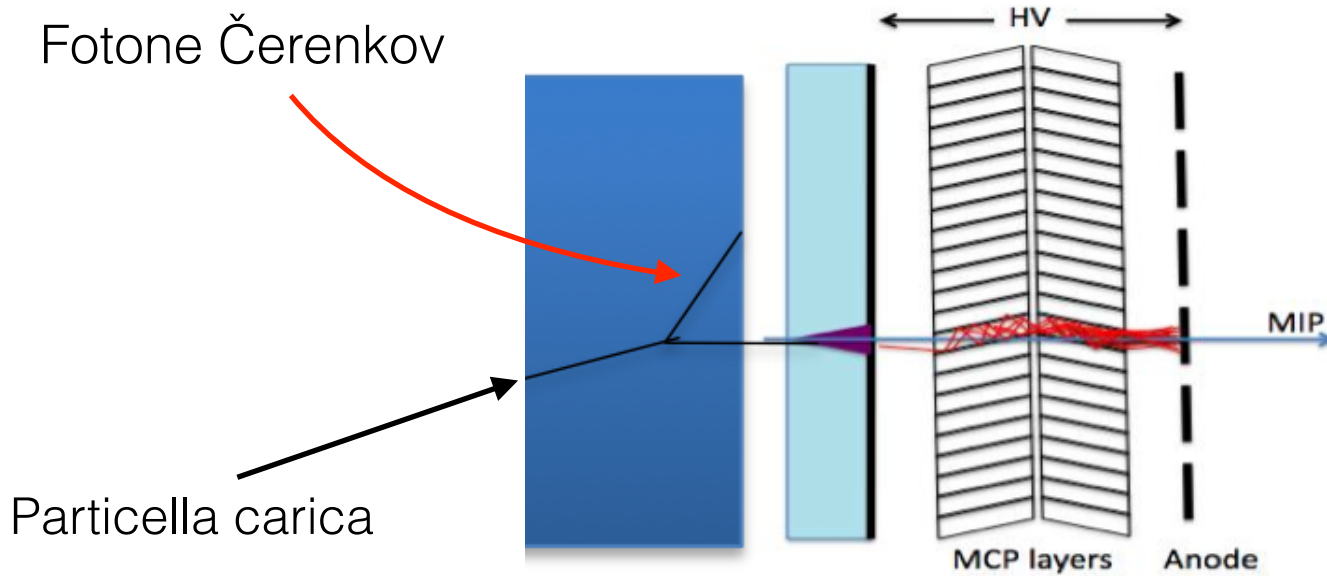
Micro-Channel Plates



Fotomoltiplicatori a dinodo continuo

Caratteristiche	
Spessore [mm]	>0.33
Diametro pori [μm]	6
Angolo MCP [$^\circ$]	>5
Guadagno	>10 ⁵

Vetro F.C. MCP



F.C. = FotoCatodo

I-MCP

MCP ad emissione secondaria

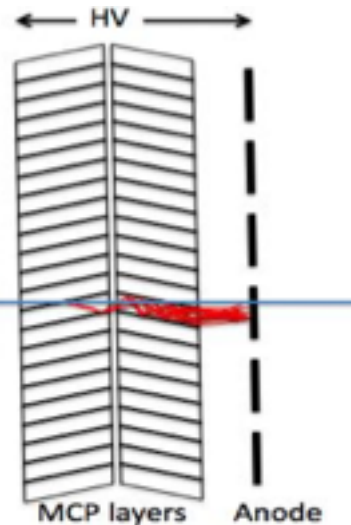
Particella carica

Particella neutra

Assorbitore

Sciame

MCP



Maggiore resistenza alle radiazioni

Efficienza

Dispositivi

- MCP 2 layer
- MCP 3 layer
- MCP **Surface Enhanced**

elettroni
50 GeV

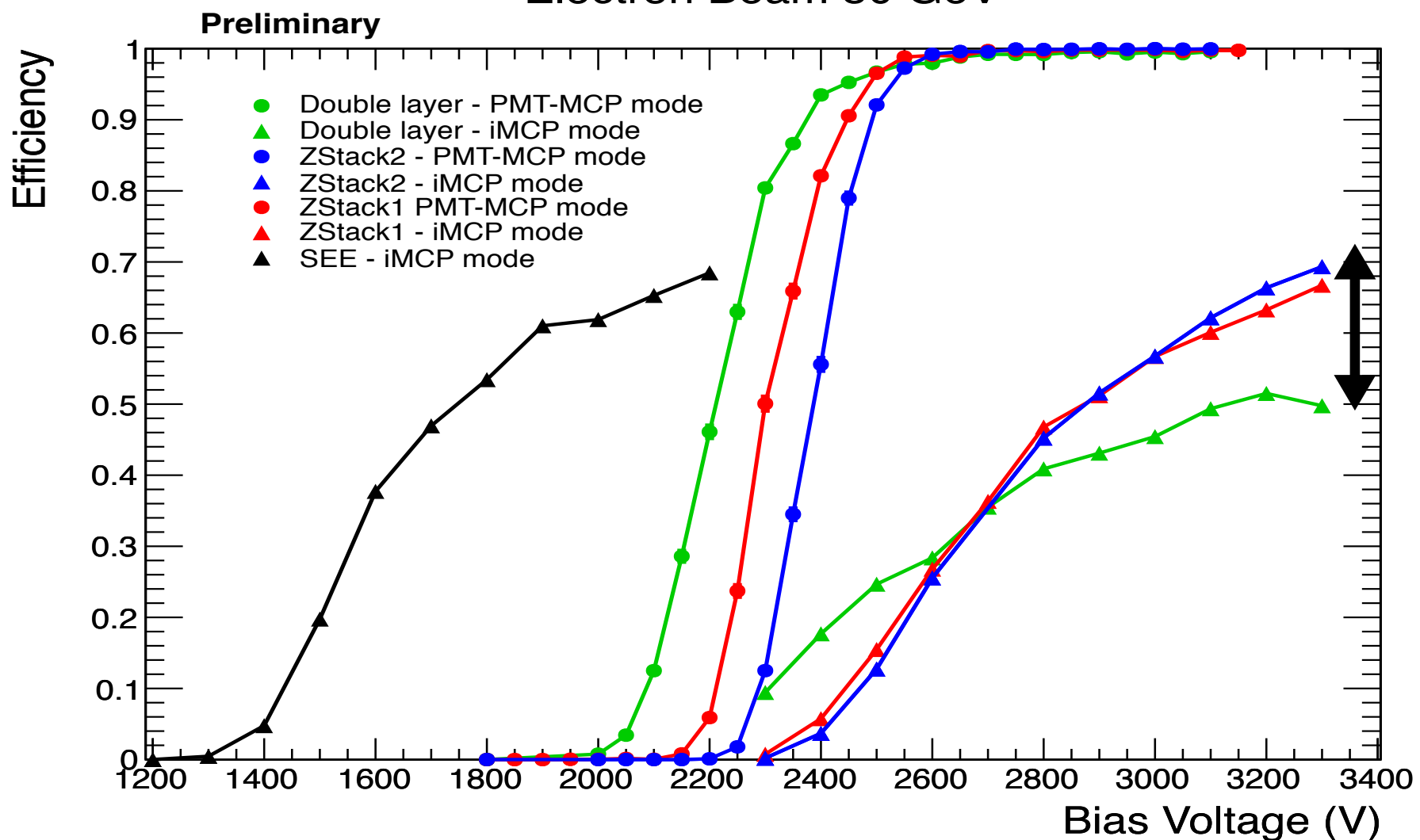
MCP_{rif}
(F.C. ON)

MCP_x

- MCP convenzionale ▲ I-MCP

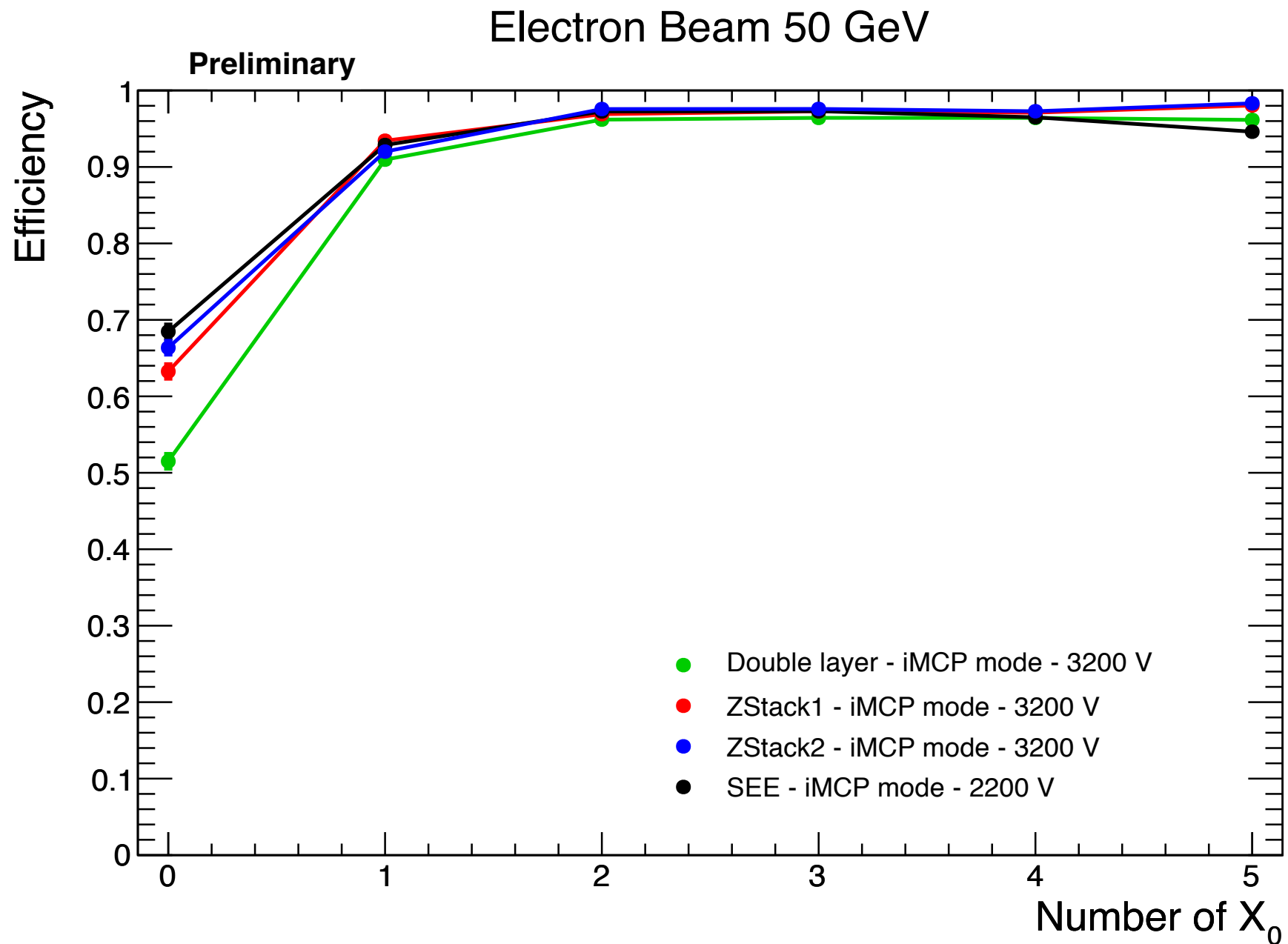
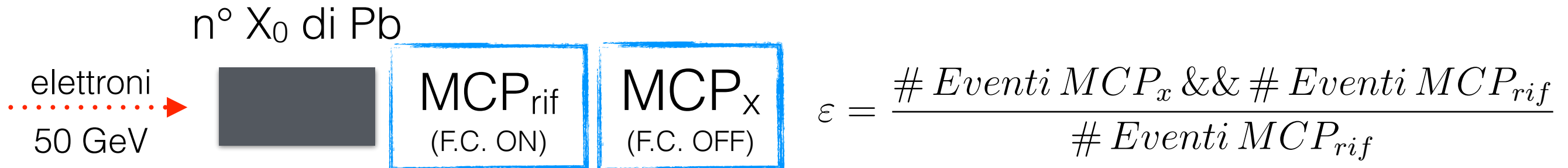
$$\varepsilon = \frac{\# \text{Eventi } MCP_x \&\& \# \text{Eventi } MCP_{rif}}{\# \text{Eventi } MCP_{rif}}$$

Electron Beam 50 GeV

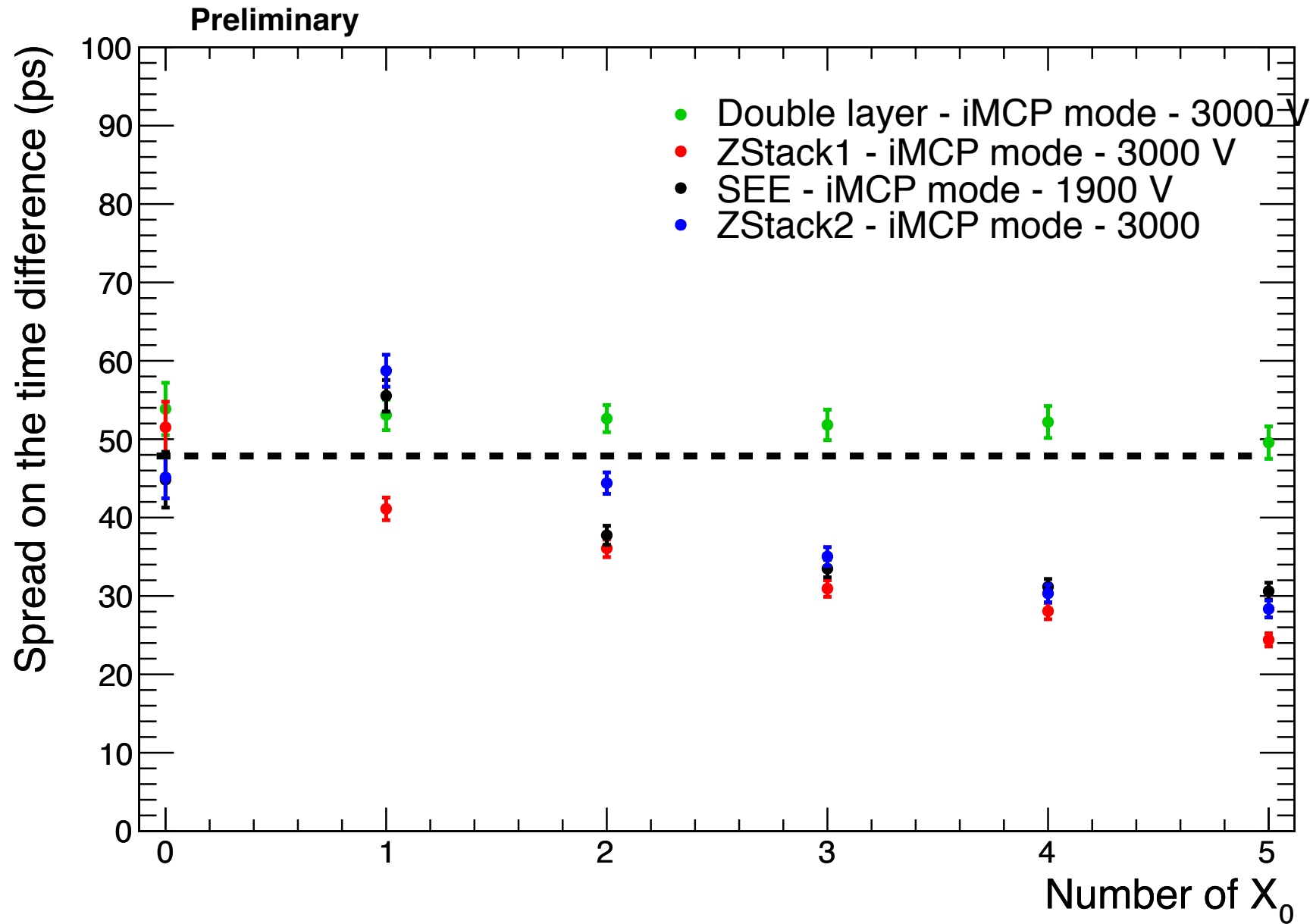


Guadagno tra
MCP a 2 e 3 layer

Efficienza (I)

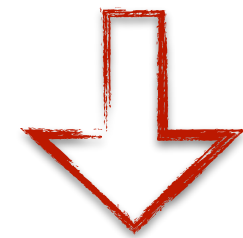


Risoluzione Temporale



$$E(e^-) = 20 \text{ GeV}$$

$$\sigma(t_{rif} - t_x) \approx 30 \text{ ps}$$



$$\sigma(t_{MCP}) \approx 25 \text{ ps}$$

Conclusioni

- HL-LHC (2025) → maggiore luminosità
- Aumento del Pile-Up



Micro-Channel Plates ad emissione secondaria

$\epsilon > 90\%$ dopo $1X_0$

$\Delta T \sim 25$ ps @ $V = 3000$ V

Ottima soluzione per la regione 'in avanti' del detector



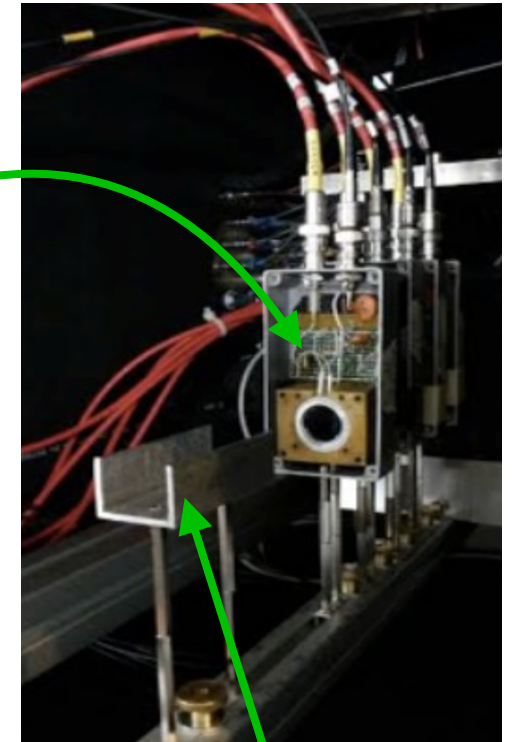
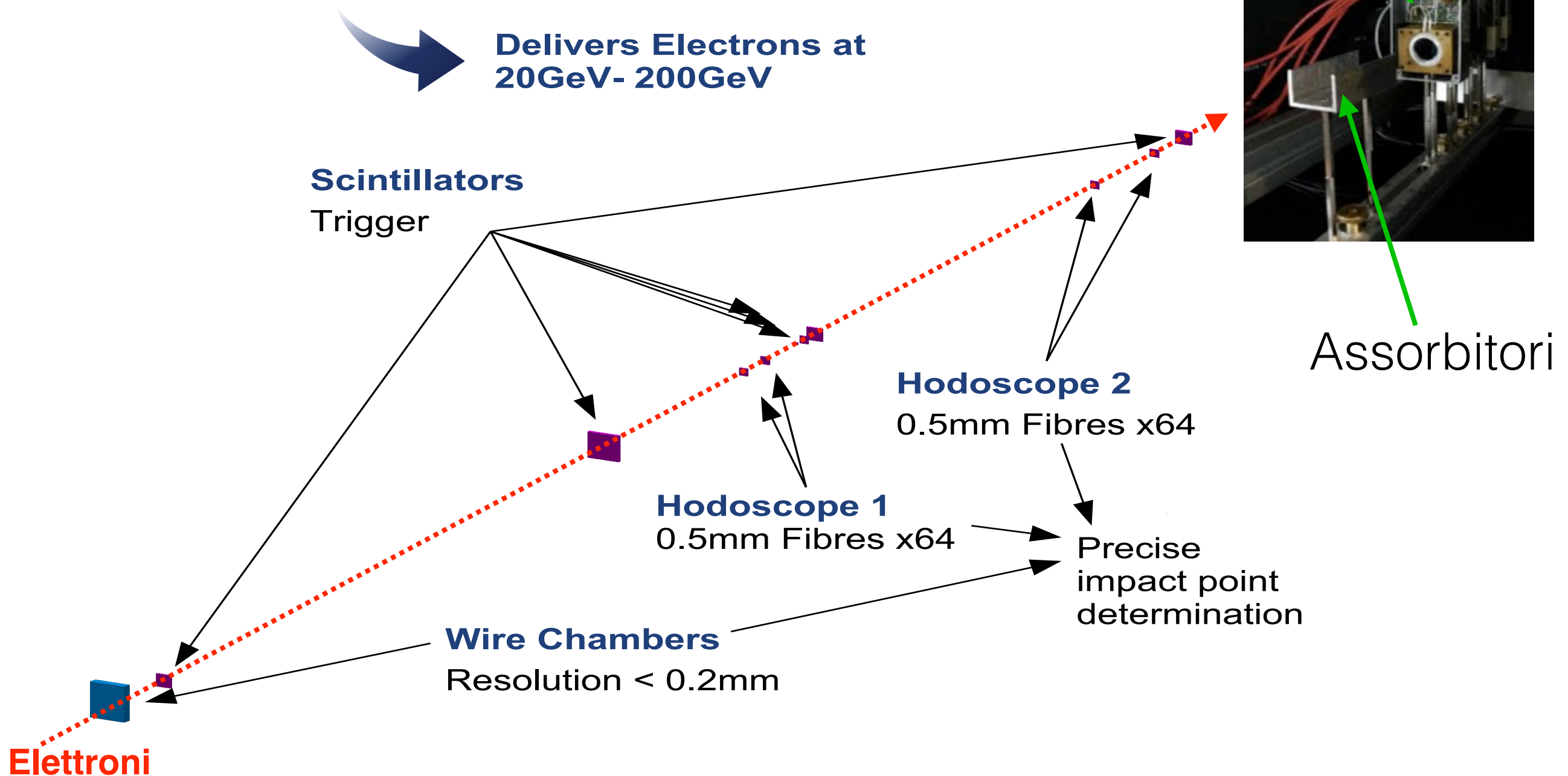
Prospettive:

- Valutazione di nuove geometrie per migliorare l' ϵ in I-MCP
- Studio della resistenza alle radiazioni

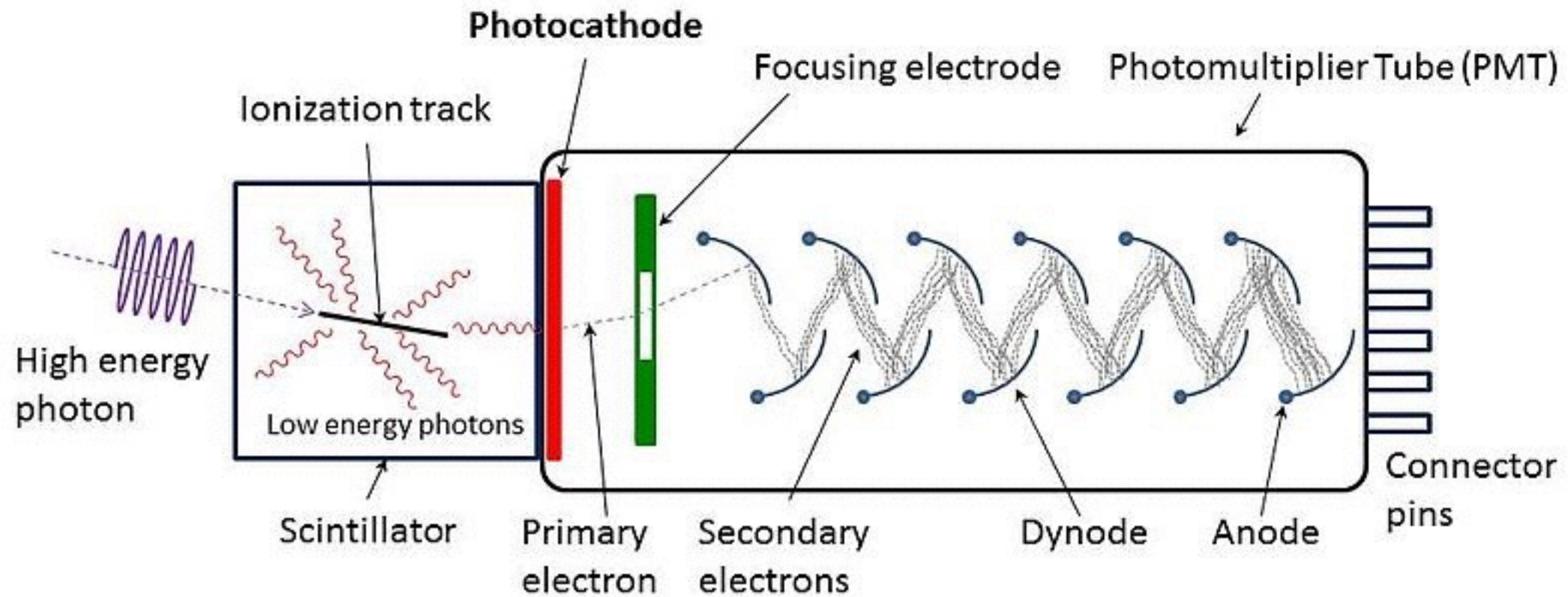
BACKUP

SPS-H4 @ Cern

The SPS-H4 Beam Line

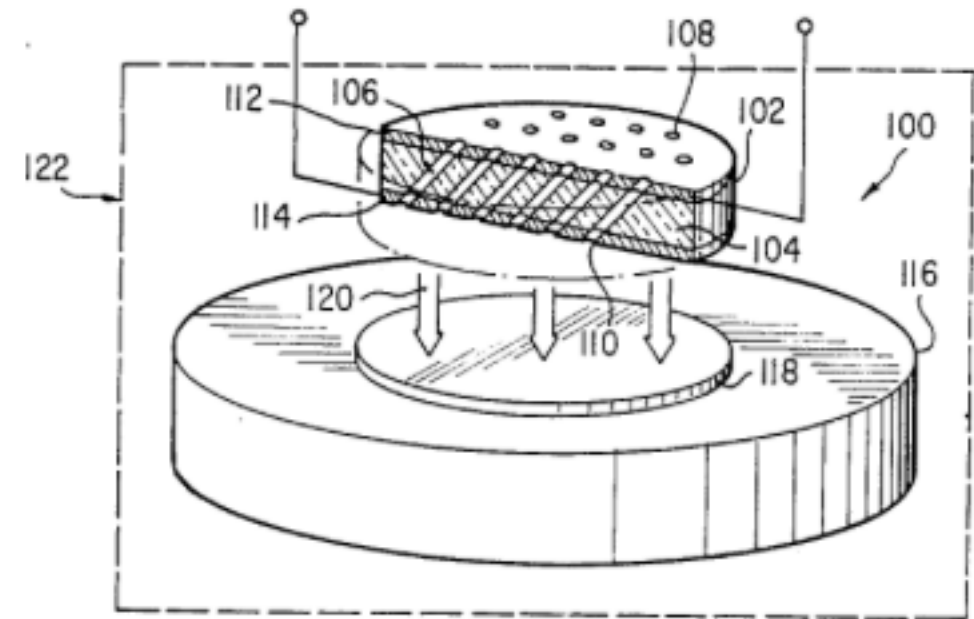
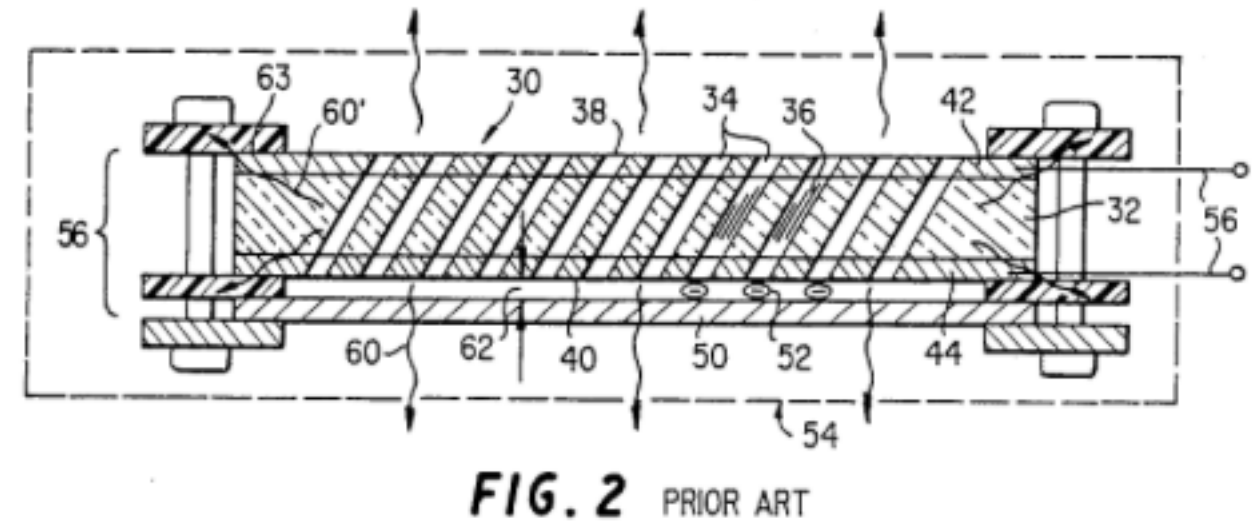
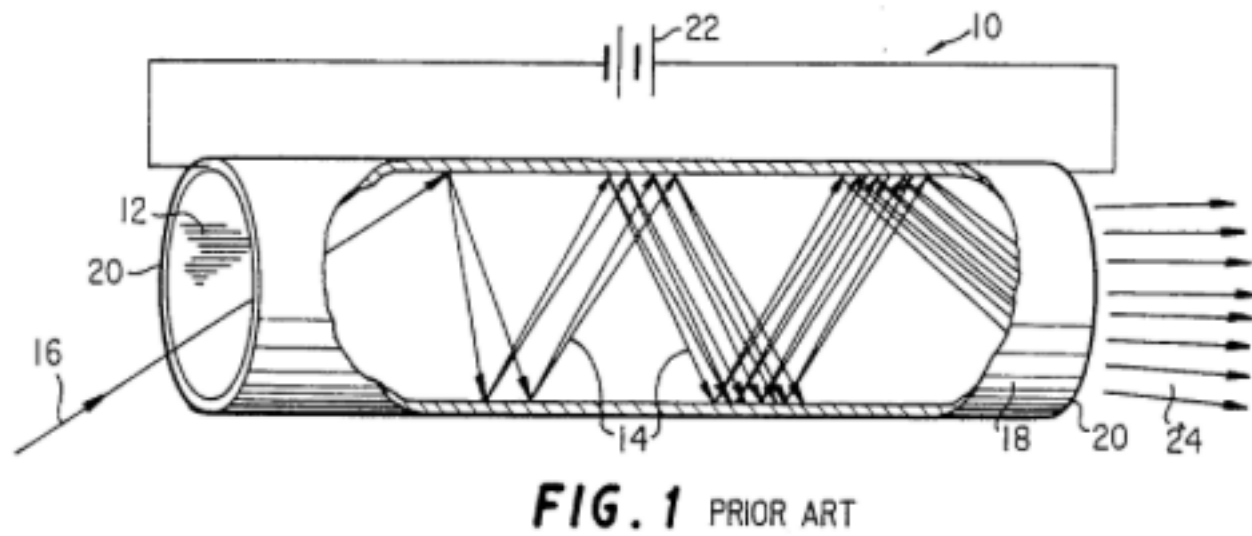


Fotomoltiplicatori



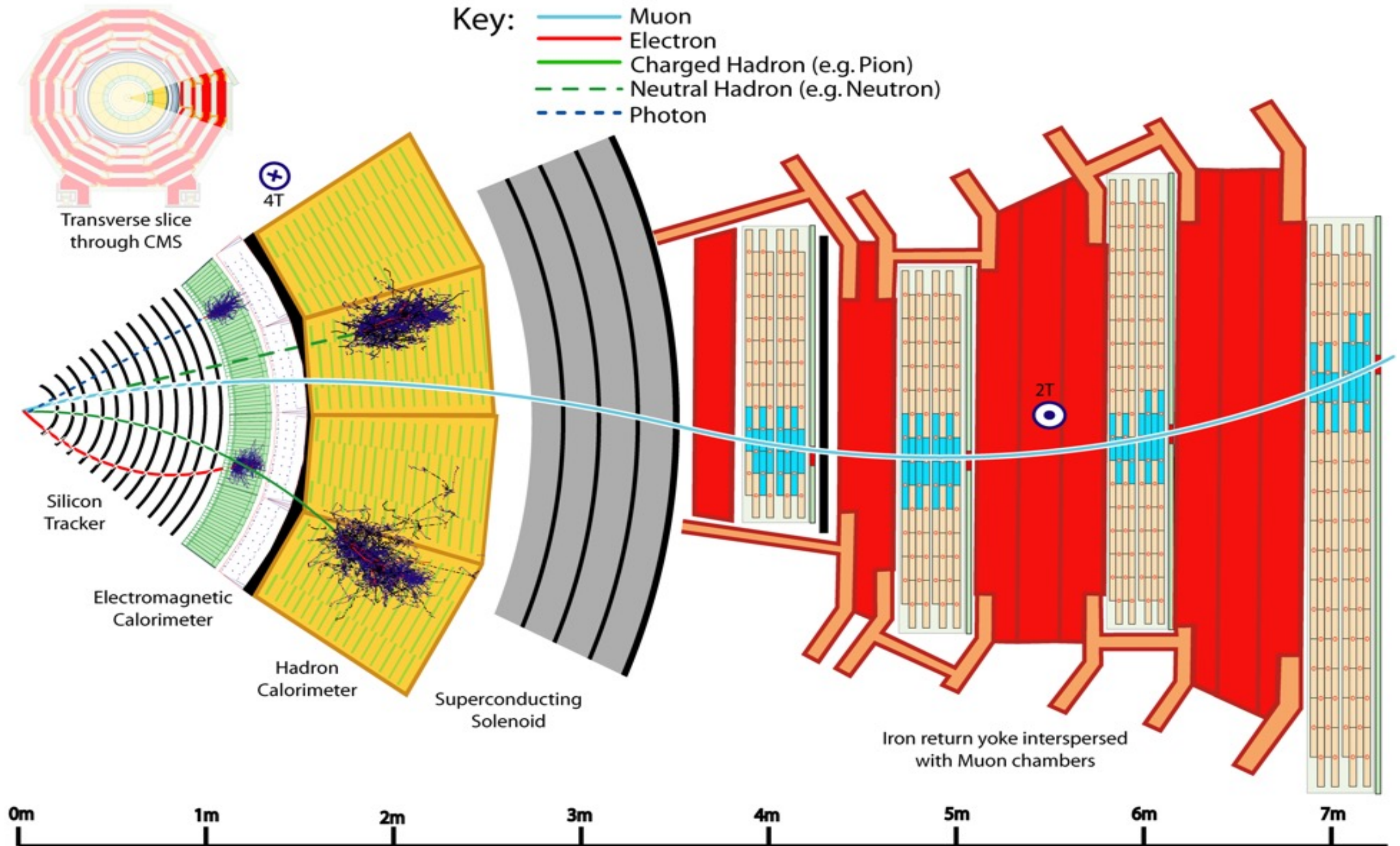
Più stadi di moltiplicazione del segnale: **DINODI**

MCP: Configurazione Chevron



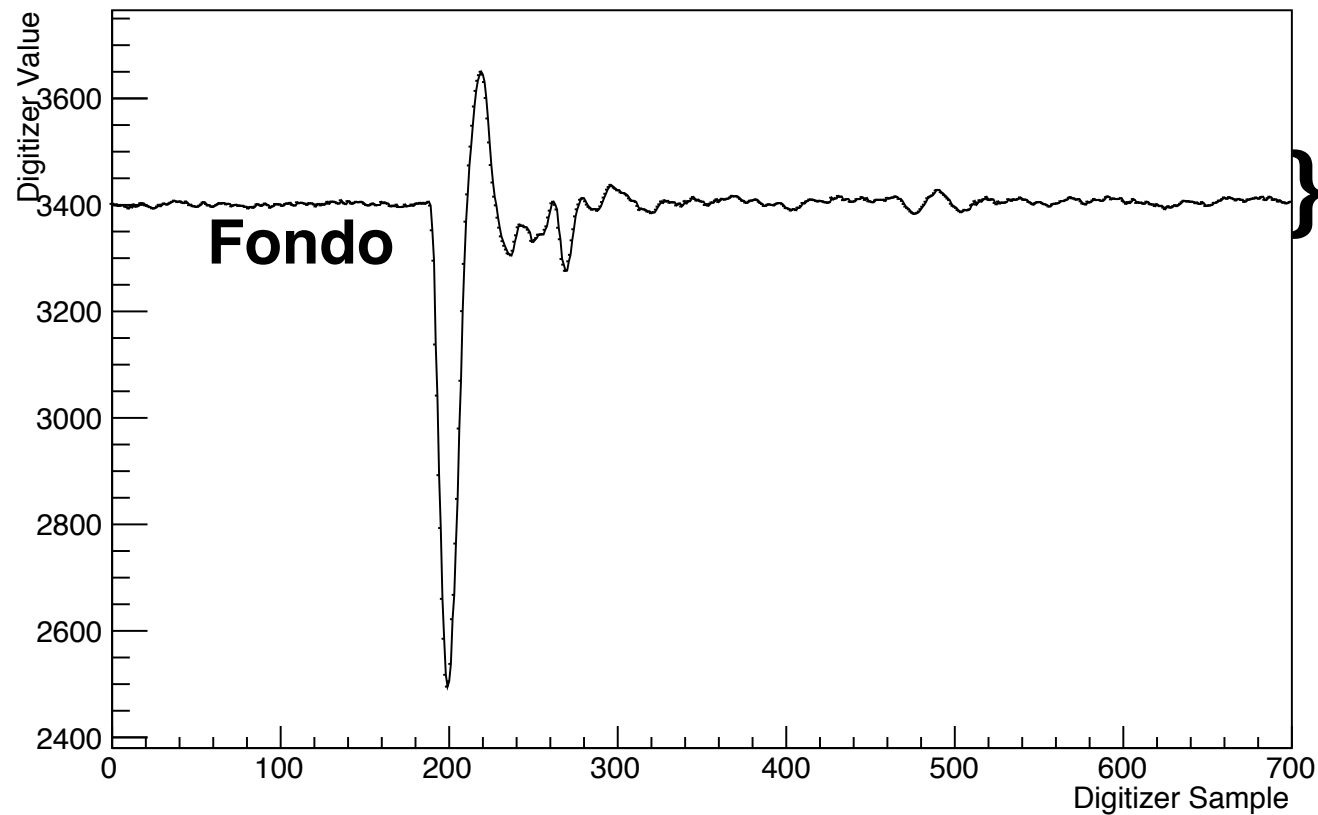
Amplificazione del segnale in MCP

CMS (Compact Muon Solenoid)



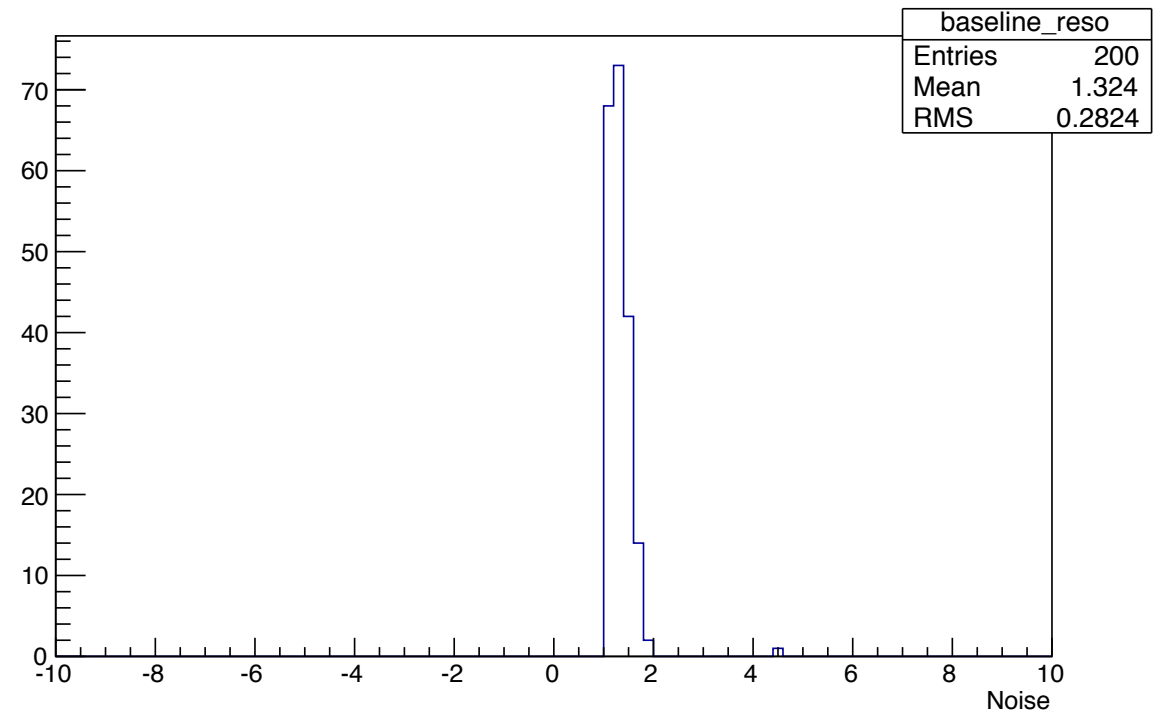
Selezione del Segnale

MCP Signal



Ampiezza fondo

CH0 Noise



Un segnale passa la selezione se la sua carica è $>5\sigma$ rispetto al fondo

Modello di Efficienza

prob. di emissione
secondaria

lungh. min. per generare
un segnale

$$\varepsilon = s \left(1 - \frac{L_{eff}}{L} \right)$$

lungh. canale

guadagno totale

$$G = d^N = d^{\frac{L}{l}} = \left(\frac{V}{V_0} \right)^{\frac{L}{l}}$$

quad. per ogni MCP

$$L_{eff} = l \frac{\ln(G)}{\ln(V/V_0)}$$

$$\varepsilon = s \left(1 - \frac{1}{b \ln \left(\frac{V}{V_s} \right) + 1} \right)$$

tensione di soglia